



نهمین کنگره ملی مهندسی شیمی ایران

طراحی فرایند بازیابی استایرن از خوراک واحد بنزین پیرولیز

محمد رضا امید خواه^{۱*}, کیومرث رحیمی^۱

۱. تهران-پل نصر - دانشگاه تربیت مدرس، بخش مهندسی شیمی

omidkhah@modares.ac.ir

دانشگاه علم و صنعت ایران
۱۳۸۳ آذر، ماه ۵-۳

چکیده

با توجه به ترکیب درصد خوراک واحد بنزین پیرولیز مشکل اساسی در بازیابی استایرن جداسازی آن از ارتوزایلن است. بنابراین تصمیم گرفته شد تا جداسازی در دو مرحله انجام شود. در مرحله اول استایرن و ارتوزایلن از مخلوط خوراک واحد بنزین پیرولیز جدا شده و سپس در مرحله دوم این دو ترکیب از یکدیگر جدا می شوند. در مرحله اول این جداسازی سه گزینه فرایندی (برج تقطیر با جریان جانبی، توالی مستقیم برج های تقطیر ساده و توالی غیر مستقیم) مورد بررسی قرار گرفته و در نتیجه برج تقطیر با جریان جانبی به عنوان گزینه برتر انتخاب شد. در مرحله دوم با توجه به شرایط ترمودینامیکی، برای جداسازی نهایی استایرن از ارتوزایلن چهار گزینه فرایندی مطالعه شد و با توجه به محاسبات انجام گرفته تقطیر استخراجی بیشترین سود آوری را نشان داد. از آنجا که نوع حلال بر اقتصاد تقطیر استخراجی تاثیر زیادی دارد، انتخاب حلال مناسب نیز از اهمیت فراوانی برخوردار است. از بین گزینه های موجود، حلال سولفولان به عنوان بهترین گزینه انتخاب شد. از آنجا که نسبت حلال به خوراک بر نحوه جداسازی استایرن از ارتوزایلن و اندازه دستگاهها تاثیر زیادی دارد با استفاده از روش GRG مقدار نسبت بهینه برابر $1/5$ بدست آمد. پس از شبیه سازی فرایند، به منظور تکمیل فرایند با استفاده از فناوری Pinch به اصلاح فشارهای عملیاتی واحد و طراحی شبکه مبدلهای حرارتی پرداخته شد و در آخرین گام فرایند نهایی به وسیله نرم افزار HYSYS مورد شبیه سازی قرار گرفت.

کلمات کلیدی: طراحی مفهومی فرایند، تقطیر استخراجی، فناوری Pinch، انتگراسیون فرایند، شبکه مبدلهای حرارتی

مقدمه

استایرن به عنوان یکی از منومرهای صنعتی مهم در تولید و تهیه انواع پلیمرها نقش به سزایی دارد. یکی از محصولات جانبی واحد اولفین خوارک واحد بنزین پیرولیز است که دارای ترکیبات اولفینی، نفتی و آروماتیک می باشد، از جمله این ترکیبات می توان به استایرن اشاره کرد. عنوان نمونه، ترکیب درصد، شدت جریان و شرایط عملیاتی خوارک واحد بنزین پیرولیز پتروشیمی تبریز در جدول (۱) آورده شده است. ایده اصلی در این مقاله بازیابی استایرن از این ترکیب قبل از فرستاده شدن به واحد بنزین پیرولیز است. جداسازی استایرن به راحتی از بنزین پیرولیز ممکن نیست. حضور ارتوزایلن در این مخلوط اختلاف کم نقطه جوش آن با استایرن، جداسازی این دو ترکیب از یکدیگر را دشوار می کند. براساس آموزه های طراحی مفهومی فرایند، می توان گزینه های مختلف فرآیندی برای جداسازی استایرن از بنزین پیرولیز را بررسی و بر اساس قیمت تمام شده، گرینه برتر را معرفی کرد.[۱، ۲ و ۳]

جدول (۱) ترکیب درصد جرمی و شرایط عملیاتی بنزین پیرولیز پتروشیمی تبریز[۴]

دما(K)	۳۲۳
فشار(kPa)	۱۰۱
شدت جرمی جریان(kg/hr)	۶۹۴۱
بوتان	۰/۰۰۳
پنتن	۰/۰۰۸
ایزوپرلن	۰/۰۰۸
سیکلو پنتان	۰/۰۷۴
سیکلو پنتا دی ان	۰/۰۷۴
پنتادی ان	۰/۰۴۱
C6	۰/۰۳۷
بنزن	۰/۴۰۲
تولوئن	۰/۱۴۲
C7	۰/۰۴۴
ارتوزایلن	۰/۰۳۲
استایرن	۰/۱۳۵

خوارک واحد بنزین پیرولیز پتروشیمی تبریز به عنوان نمونه در این تحقیق مورد بررسی قرار گرفته است. به دلیل اینکه خوارک از داخل مجتمع تهیه می شود و پس از استخراج استایرن از آن دقیقاً به همان مصرف قبلی می رسد، قیمتی برای آن در نظر گرفته نمی شود. سایر قیمت ها^۱ در جدول (۲) ارایه شده و تعداد روزهای کاری در سال معادل ۳۲۰ روز در نظر گرفته شده است.

^۱ نرخ برابری دلار ۸۵۰۰ ریال در نظر گرفته شده است.

جدول (۲) قیمت خوراک و مواد اولیه [۵]

مواد	قیمت (\$ kg)
بنزین پیرولیز	-
استایرن	۱/۰۳
ارتو زایلن	۰/۵
پارا زایلن	۰/۶۳
بنزن	۰/۴۵
سولفولان	۳/۲
تولوئن	۰/۳۷۵

طراحی سیستم جداسازی فرآیند

خوراک واحد بنزین پیرولیز ترکیبات مختلفی علاوه بر استایرن وجود دارد، برای جداسازی استایرن، در یک دسته بندی بر اساس نقطه جوش سه برش سبک، متوسط و سنگین تعریف شده است که در جدول (۳) ملاحظه می شود.

جدول (۳) برش های سبک، متوسط و سنگین [۶]

دسته بندی	ترکیب	نقطه جوش °C
(Light) برش سبک	C4	-۰/
	پنتان	۲۰
	ایزوپرن	۳۴
	سیکلو پنتا دی ان	۴۱
	پنتا دی ان	۴۲/۱
	سیکلو پنتان	۴۹
(Medium) برش متوسط	C6	۶۹
	بنزن	۸۸/۱
	C7	۹۸/۴
	تولوئن	۱۱۰/۸
(Heavy) برش سنگین	ارتو زایلن	۱۴۴
	استایرن	۱۴۵

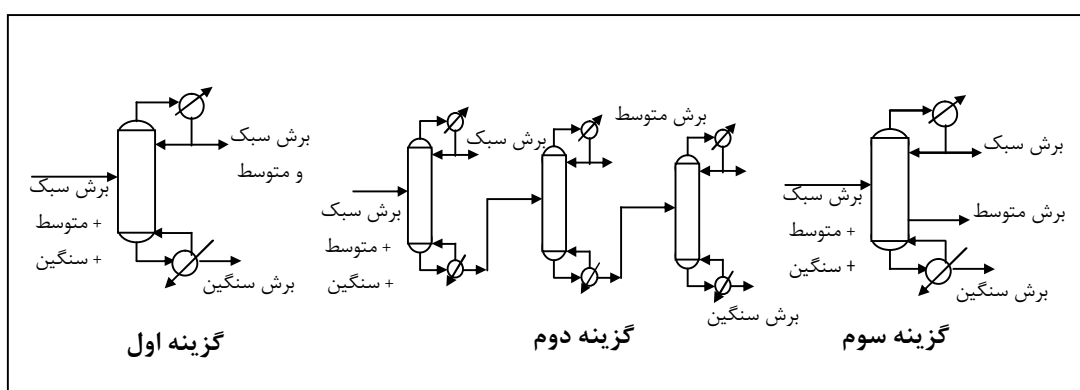
همانطور که در جدول (۳) ملاحظه می شود، ابتدا برش سنگین از برش‌های سبک و متوسط جدا کرد. اختلاف کم نقطه جوش بین استایرن و ارتو زایلن جداسازی این دو ماده از هم مشکل شده است که در مرحله دیگری این جداسازی انجام می شود. مراحل جداسازی استایرن از خوراک واحد بنزین پیرولیز عبارتند از:

مرحله اول: در ابتدا برشهای سبک و متوسط در یک توالی برجهای تقطیر از برش سنگین جدا می شوند.

مرحله دوم: جداسازی استایرن از ارتوزایلن با در نظر گرفتن تقطیر و سایر روش‌های جداسازی.

مرحله اول - جداسازی برشهای سبک و متوسط از برش سنگین:

قطیر یکی از متداول‌ترین و کم‌هزینه‌ترین روش‌های جداسازی مخلوط مایعات است. در صورتی که فرازیت نسبی بین اجزاء و اختلاف جوش آنها به اندازه کافی زیاد باشد امکان جداسازی این مواد با کمترین هزینه وجود خواهد داشت.^[۷] در مخلوط استایرن و ارتوزایلن به عنوان یک جزء سنگین در نظر گرفته شده و برای جداسازی و کاهش هزینه‌های مربوط به آن در انتهای فرایند عمل جداسازی بر روی آن صورت می‌گیرد. به منظور جداسازی این مواد و با توجه به برشهای تنظیمی سه گزینه متفاوت برای جداسازی ممکن وجود دارد که در شکل (۱) ملاحظه می‌گردد.



شکل (۱) گزینه‌های جداسازی مرحله اول

گزینه اول

ابتدا برش سبک و متوسط از بالای برج تقطیر جدا می شوند و برش سنگین از پایین برج خارج می شود. با استفاده از روش فنسک-آندروود-گلیلند^۱ قطر و ارتفاع برج تقطیر بدست آمده است و پس از شبیه سازی با نرم افزار Hysys، هزینه‌های ساخت برج تقطیر از روابط گاتری^۲ محاسبه شده است.^[۷] نتایج آن در جدول (۴) ملاحظه می شود.

گزینه دوم

در این توالی که در سه برج تقطیر صورت می‌گیرد، ابتدا برش سبک از بالای برج تقطیر اول جدا می شود و سپس محصول پایین برج که شامل برشهای متوسط و سنگین می باشد در برجهای تقطیر بعدی از یکدیگر جدا می شوند. با استفاده از روش فنسک-آندروود-گلیلند قطر و ارتفاع برجهای تقطیر بدست آمده است و پس از شبیه سازی با نرم افزار Hysys، هزینه‌های ساخت برج تقطیر از روابط گاتری محاسبه شده است. نتایج آن در جدول (۴) ملاحظه می شود.

^۱- Fenske-Underwood-Gilliland

^۲- Guthrie

گزینه سوم

برجهای تقطیر با جریان جانبی، برجهای جانبی معمولاً هزینه ساخت بیشتری نسبت به برجهای تقطیر ساده دارند ولی با توجه به اینکه می‌توان با قرار دادن یک برج تقطیر پیچیده به جای توالی از برجهای تقطیر ساده به هدف مورد نظر دست یافت بنابراین این گزینه فرایندی مورد بررسی قرار گرفته است. برای محاسبه هزینه‌های ساخت و طراحی برجهای تقطیر در ابتدا با استفاده از روش فنسک-آندرود-گلینلد تعداد سینی‌ها و میزان جریان برگشتی برجها محاسبه شده است و سپس هر گزینه به وسیله نرم افزار Hysys شبیه‌سازی شده است هزینه‌های ساخت برج تقطیر از روابط گاتری محاسبه شده است. هزینه گزینه‌های مورد نظر در جدول (۴) نشان داده شده است. همان‌طور که ملاحظه می‌شود هزینه سرمایه گذاری گزینه برج تقطیر با جریان جانبی نسبت به سایر گزینه‌ها کمتر است، بعلاوه این گزینه جریان میانی حاوی تولوئن با خلوص مناسب تولید می‌کند و محصولی قابل فروش می‌باشد. [۹و۸]

جدول (۴) مقایسه بین سه گزینه پیشنهادی برای جداسازی برشهای L, M, H, H

	تعداد برج	محصول بالای برج (kg/hr)	محصول میانی برج (kg/hr)	محصول پایین برج (kg/hr)	قطر (m)	ارتفاع (m)	هزینه (\$/yr) طرح
گزینه سوم	۱	۴۸۷۶	۹۷۲/۷	۱۰۹۲	۲/۰۴	۵۷/۹	۱۱۴۸۵۱
گزینه دوم	۳	۶۹۱۹/۹	-	۳۱۳۷	۱/۰۵	۴۸/۷	۴۴۲۰۰۰
		۱۸۲۸/۹	-	۱۳۰۸	۰/۴	۲۱/۳	
		۱۲۹/۲	-	۱۱۷۹	۰/۶	۳۹	
گزینه اول	۱	۵۷۷۹/۱	-	۱۱۶۲	۲/۲	۶۳	۱۳۴۲۳۳

نمودار جریان‌های فرایندی^۱ به صورت شکل (۲) تبدیل خواهد شد. در این شکل جریان ۱ خوراک واحد DPG پتروشیمی تبریز می‌شود و جریان ۲ به عنوان یک جریان محصول جانبی که دارای تولوئن می‌باشد مشخص شده است، جریان ۴ (شامل ارتو زایلن و استایرن می‌باشد) جهت جداسازی به قسمت بعدی فرایند می‌رود.

مرحله دوم - جداسازی استایرن از ارتو زایلن :

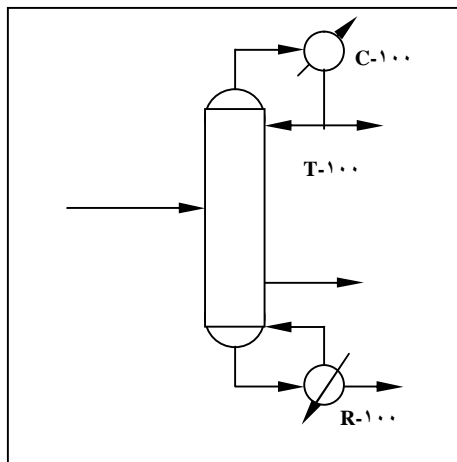
برای جداسازی استایرن از ارتو زایلن به ترتیب هزینه چهار گزینه جداسازی وجود دارد: [۱۰]

گزینه اول - استخراج مایع-مایع

گزینه دوم - تقطیر استخراجی

گزینه سوم - تقطیر آزئوتروپیک

^۱- PFD



شکل(۲) برج تقطیر با جریان جانبی برای جداسازی برش سبک و متوسط از برش سنگین

گزینه اول - استفاده از سیستم جداسازی استخراج مایع-مایع برای جداسازی استایرن از ارتوزایلن:

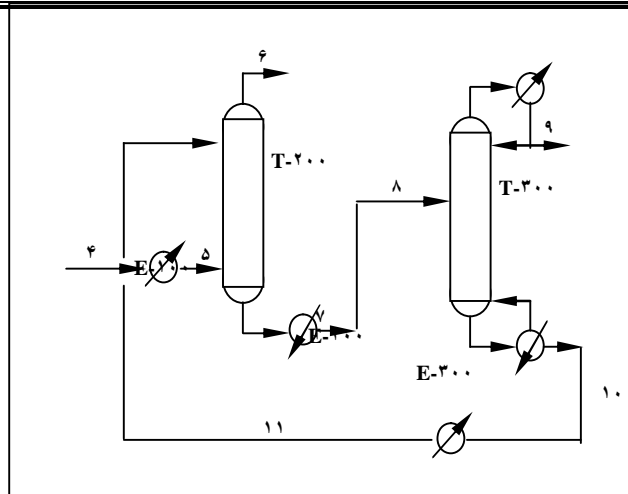
استخراج مایع-مایع یک روش مهم برای جداسازی مخلوطهایی است که اجزاء آن اختلاف نقطه جوش کمی دارند و به کمک روش‌های مرسوم تقطیر قابل جداسازی نیستند. نمایی از این گزینه در شکل(۲) ملاحظه می‌شود. فراریت نسبی سیستم مورد نظر در شرایط عادی $\alpha=1/1$ می‌باشد، بنابراین از گزینه استخراج مایع مایع برای جداسازی استایرن از ارتوزایلن استفاده شده است. با توجه به اینکه کشش سطحی سیستم dyn/cm از برج سینی دار برای جداسازی استفاده شده است. برای جداسازی استایرن از راتوزایلن، حلال سولفولان که از لحاظ ساختاری تطابق زیادی با دو ترکیب مورد نظر دارد انتخاب شده است، پس از شبیه‌سازی و محاسبات اقتصادی فرایند، نتایج آن در جدول(۵) ملاحظه می‌شوند. [۱] بنابراین استفاده از گزینه برجهای استخراج مایع-مایع و برج بازیابی حلال در مقایسه با سایر گزینه‌ها غیر اقتصادی می‌باشد.

گزینه دوم - فرآیند تقطیر استخراجی برای جداسازی استایرن از ارتوزایلن: [۱۱ و ۱۲]

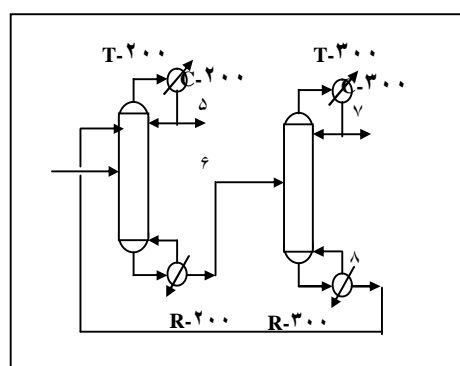
فرآیند تقطیر استخراجی یکی از مناسبترین فرآیندها برای جداسازی استایرن از ارتوزایلن می‌باشد نمایی از این فرآیند در شکل (۴) ملاحظه می‌شود. همان‌طور که قبلًا اشاره شد حضور حلال باعث بر هم خوردن تعادل ترمودینامیکی در خوراک ورودی به واحد می‌گردد و بر همین اساس ارتوزایلن از جریان ۵ با خلوص $\frac{۹۷}{۳}\%$ مولی خارج می‌گردد، استایرن نیز به همراه سولفولان از پائین برج و از جریان ۶ وارد برج بازیابی حلال یا برج $T-300$ می‌شود که در آن استایرن با خلوص 100% از بالای برج جدا می‌شود و حلال به برج اولی باز می‌گردد.

جدول (۵) نتایج فنی و اقتصادی واحد استخراج مایع - مایع

مشخصات و هزینه های برج استخراج مایع - مایع		
T-۲۰۰	(m) ارتفاع برج	۳۴/۷
	قطر برج(m)	۱/۰۴
	هزینه نصب و ساخت برج(\$/Yr)	۲۲۰۰۰
مشخصات و هزینه های پیش گرمکن برج تقطیر		
E-۲۰۰	(m ^۲) سطح	۴۶۰
	(Kg/hr) بخار مصرفی	۸۰۳۷
	(\$/Yr) هزینه خرید و نصب مبدل حرارتی	۱۷۷۵۵
	(\$/Yr) هزینه بخار مصرفی	۱۸۹۷۷۵
مشخصات و هزینه های برج تقطیر		
T-۳۰۰	تعداد سینی ها	۵۰
	راندمان سینی ها	۰/۵
	شماره سینی خوارک	۲۵
	(m ^۲) سطح چگالنده	۴۴۴
	(Kg/hr) آب خنک کننده مصرفی چگالنده	۱۱۷۹۳۱
	(m ^۲) سطح جوش آور	۷۴۳
	(Kg/hr) بخار مصرفی جوش آور	۵۴۴۲۹
	(m) ارتفاع برج تقطیر	۳۳/۵
	(m) قطر برج تقطیر	۴/۵
	(\$/Yr) هزینه نصب و خرید چگالنده	۲۶۷۱۳
	(\$/Yr) هزینه آب خنک کننده مصرفی	۳۲۷۶۰۰
	(\$/Yr) هزینه نصب و خرید جوش آور	۳۷۱۰۹
	(\$/Yr) هزینه بخار مصرفی	۱۲۰۰۰۰
	(\$/Yr) هزینه نصب و خرید برج تقطیر	۱۱۱۳۳۳
ارزیابی کلی طرح		
	استایرن تولیدی (\$/Yr)	۵۰۰۰۰۰
	حلال مصرفی (\$/Yr)	۲۰۰۰۰۰
	هزینه های نصب، خرید و عملیاتی دستگاهها (\$/Yr)	۲۹۰۰۰۰
	سود آوری طرح (\$/Yr)	۱۰۰۰۰۰



شکل(۳) نمایی از جداسازی استایرین از ارتوزایلن به کمک استخراج مایع - مایع



شکل(۴) نمایی از جداسازی استایرین از ارتوزایلن به کمک تقطیر استخراجی

انتخاب حلال

انتخاب حلال فاکتور اساسی در تقطیر استخراجی می‌باشد که تاثیر زیادی بر روی بازیابی حلال و باز گرداندن آن درون فرایند دارد، مقدار حجم حلال مصرفی بستگی به نوع حلال دارد که انتخاب آن تابع پارامترهای زیر می‌باشد:

- (۱) حلال باید از میان سایر ترکیبات (حلالهای دیگر) طوری انتخاب شود که بر روی رفتار فاز مایع و اجزاء کلیدی تاثیر داشته باشد و باعث افزایش فراریت بین دو جزء کلیدی سبک و سنگین گردد به عبارت دیگر اضافه شدن حلال نباید بر هزینه‌های جدا سازی نسبت به حالت عادی بیشتر گردد.
- (۲) حلال باید نقطه جوش بالاتری نسبت به اجزاء کلیدی مخلوط داشته باشد و همچنین باید فراریت کمی داشته باشد تا از محصول مقطمر بالای برج خارج نگردد، به عبارت دیگر تمایل زیادی به ماندگاری در فاز مایع داشته باشد.

(۳) حلال نباید تشکیل آزئوتروپ با سایر ترکیباتی که در فرایند تقطیر استخراجی وجود دارند بدهد در بازیابی حلال هزینه‌های گزارف تقطیر آزئوتروپیک بر فرایند تحمل می‌گردد.

(۴) حلال باید از لحاظ ترکیبی ماده‌ای پایدار باشد تا در اثر حرارت درون برج تجزیه گردد.

(۵) از لحاظ فیزیکی باید گرمای نهان پایین نقطه جوش بالا تاثیرات بر تعادل VLE و غالب شدن بر جدا سازی مایع - مایع، نداشتن سمیت، شرایط مناسب ویسکوزیته و دانسیته از دیگر پارامترهای مهمی هستند که حلال باید داشته باشد.

به دلیل اینکه دشواریهای جداسازی در این بخش مربوط به ارتوزایلن و استایرن می‌باشد. حلال‌های مختلفی برای جداسازی این دو ماده از هم پیشنهاد شده اند در جدول (۴) این حلال‌ها با نسبتهای مختلف وزنی ملاحظه می‌گردند [۱۳].

با توجه به مطالب فوق الذکر از حلال سولفولان استفاده می‌شود. برای نشان دادن اثر حلال در فرایند و شبیه سازی آن به کمک نرم افزار Hysys لازم است ضرایب دوگانه سولفولان-استایرن و سولفولان-ارتوزایلن را بدست آوریم تا به کمک معادله NRTL بتوان ضرایب اکتیویته را بدست آورد. برای تخمین ضرایب اکتیویته از بانک اطلاعاتی نرم افزار Aspen استفاده شده است که نتایج آن در جدول (۵) ملاحظه می‌گردد. بنابراین براساس نتایج حاصله از نرم افزار Hysys نمودارهای تعادلی ارتوزایلن-استایرن بر حسب در شرایط ۱:۱ نسبت حلال به خوراک که فراریت نسبی آن تقریباً برابر $1/4$ می‌باشد و $1:4$ حلال به خوراک که فراریت نسبی آن تقریباً برابر $1/8$ می‌باشد و شرایطی که حلال به مخلوط استایرن و ارتوزایلن اضافه نشده است در شکل (۵) ملاحظه می‌شود.

بررسی مشخصات فنی و اقتصادی گزینه تقطیر استخراجی: [۱۴]

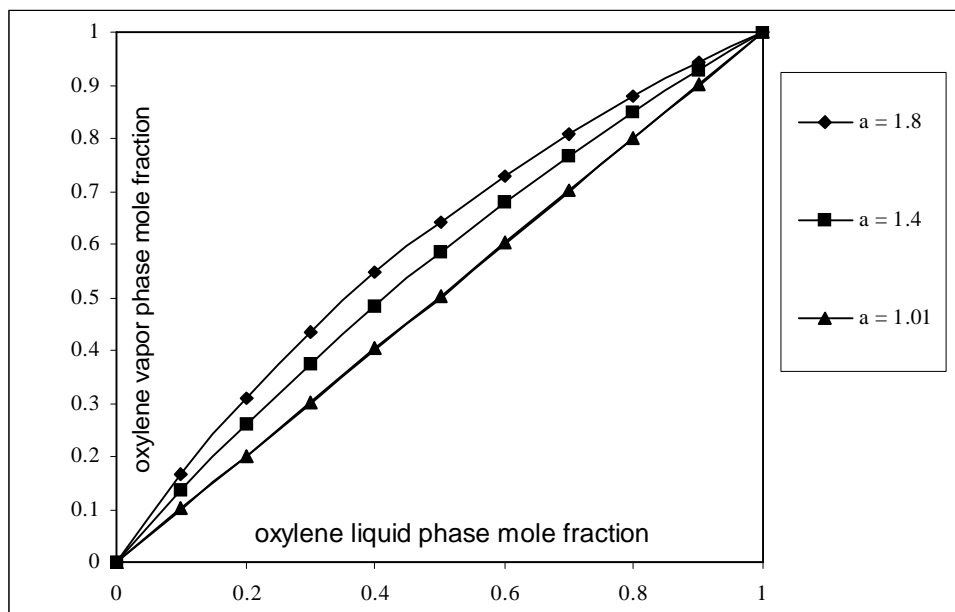
محصول خروجی از برج T-۱۰۰ که حاوی استایرن و ارتوزایلن است برابر با حاوی 18% مولی ارتوزایلن و 82% مولی استایرن است که وارد فرآیند می‌شود. میزان حلال ورودی به فرآیند بر روی اقتصاد فرآیند تأثیر به سزاوی دارد و باعث تغییرات جدی بر روی جداسازی محصولات می‌شود بر همین اساس در ابتدا مسئله را در حالتی که دبی حلال ورودی با دبی خوراک ورودی برابر است، مورد بررسی قرار گرفته است. پس از شبیه سازی فرایند به کمک نرم افزار Hysys، محاسبات اقتصادی براساس آن صورت می‌گیرد. نتایج این تجزیه تحلیل اقتصادی در جدول (۶) ملاحظه می‌گردد، تحلیل فقط جهت مقایسه این گزینه با سایر گزینه‌ها می‌باشد.

جدول (۴) تاثیر حلال های مختلف بر روی فراریت نسبی استایرین ارتوزایلن [۱۳]

حلال	نسبت حلال به خوارک	Farrarیت نسبی
بدون حضور حلال	۰:۱	۱
۱-متیل ۲-پایرولیدون	۱:۱	۱/۴
سولفولان	۱:۱	۱/۳
آدیپونیتریت	۱:۱	۱/۳
۱-پیپرازین	۱:۱	۱/۲
NFM	۱:۱	۱/۳
۲-پایرولیدون	۱:۱	۱/۴
پروپیلن کربنات	۱:۱	۱/۳
۱-متیل ۲-پایرولیدون	۱:۵	۱/۶
سولفولان	۱:۵	۱/۷
۱-پیپرازین	۱:۵	۱/۳
NFM	۱:۵	۱/۵
۲-پایرولیدون	۱:۵	۱/۷
پروپیلن کربنات	۱:۵	۱/۴
متیل کربیتول	۱:۵	۱/۴

جدول (۵) ضرایب دوگانه برای سیستم استایرین- ارتوزایلن- سولفولان

	A _{ij}	B _{ij}	F _{ij}	G _{ij}	α_{ij}	T(K)	τ_{ij}
استایرین- سولفولان	•	۱۰۳۷/۲۲	•	•	۰/۳	۳۳۳	۳/۱۱
سولفولان- استایرین	•	۱۹۶/۵۲۶ -	•	•	۰/۳	۳۳۳	-۰/۵۹
سولفولان- ارتوزایلن	•	۹۴/۸۹۱۹	•	•	۰/۳	۳۳۳	۰/۲۸
ارتوزایلن- سولفولان	•	۶۹۲/۷۵۰۷	•	•	۰/۳	۳۳۳	۲/۰۸



شکل(۵) تغییرات فراریت نسبی ارتوزایلن - استایرن در اثر اضافه کردن حلال

بهینه‌سازی مصرف حلال در فرآیند بازیابی استایرن از بنزین پیروولیز

جداسازی در برجهای تقطیر استخراجی بسیار متأثر از میزان حلال مصرفی است، حلال بر روی اندازه دستگاهها و ترکیب درصد جریان‌های خروجی از آن تأثیر بهسزایی دارد. لذا به نظر می‌رسد به جهت اینکه تحلیل صحیحی بر روی فرآیند داشته باشیم لازم است، عمل بهینه‌سازی فرآیند بر روی این مسئله خاص صورت گیرد، آن چیزی که در این بین دارای اهمیت است خوراک ورودی به فرآیند است همان‌طور که در گزینه فرایندی استخراجی ملاحظه گردید در دبی خوراک فعلی این فرآیند امکان‌پذیر است و می‌توان دستگاه‌های مربوطه را طراحی کرد لذا به نظر می‌رسد با توجه به اینکه محدودیت در تغییرات خوراک ورودی به واحد وجود دارد، میزان خوراک ورودی را ثابت فرض کرده و بر اساس آن حلال مصرفی بهینه را بدست کل فرآیند در شکل (۴) ملاحظه می‌گردد.

در یک مدل بهینه‌سازی مهمترین نکته‌ای که وجود دارد تعیینتابع هدف می‌باشد که براساس آن با در نظر گرفتن محدودیتهای فرآیندی به هدف مورد نظر دست می‌یابیم. این تابع هدف ممکن است در یک زمان بیان گر میزان کک تولیدی درون یک کوره الین باشد و یا ضرایب مدل فعالیت ترمودینامیکی باشد. در این مسئله خاص هدف حداکثرسازی سودآوری واحد می‌باشد بنابراین تابع هدف، تابع سودآوری اقتصادی می‌باشد که رابطه (۱) بیانگر آن می‌باشد. در این نگرش خاص میزان خوراک ورودی به واحد را متغیر در نظر گرفته شده است تا در صورت امکان با افزایش ظرفیت واحد بتوان به سودآوری بیشتری دست یافت. با توجه به اینکه امکان ذخیره‌سازی بنزین پیروولیز در یک تانک امکان‌پذیر است پس متغیر بودن خوراک ورودی بر روی مکانیسم بهینه‌سازی تأثیر منفی نمی‌گذارد. واحد اولفین پتروشیمی تبریز امکان تولید ۶۹۴۱ kg/hr⁻¹ بنزین پیروولیز تولید می‌کند.

جدول (۶) هزینه گزینه تقطیر استخراجی

		T-۲۰۰	T-۳۰۰
مشخصات فنی چگالنده			
چگالنده	(kPa) فشار	۸/۶۶	۸,۶۶
	(K) دمای ورودی	۳۳۱/۹	۴۶۰
	(K) دمای خروجی	۲۶۳/۵	۴۶۶
	(KW) بار حرارتی چگالنده	۲۹۸	۲۲۶/۷
	ΔT _{LMTD} (K)	۵۱	۲۵
	U(KW/m ² K)	۴۱۸	۴۱۸
	(m ²) سطح	۷/۶	۹/۳
	شدت جرمی سیال خنک کننده (Kg/hr)	۲۷۳	۱۱۶۶/۹
مشخصات فنی جوش آور			
جوش آور	(kPa) فشار	۱۰	۹
	(K) دمای ورودی	۴۳۴/۷	۵۲۸/۷
	(K) دمای خروجی	۴۵۶/۹	۵۳۹
	(KW) بار حرارتی جوش آور	۱۸۷۳/۲	۲۹۰
	U(KW/m ² K)	۴۱۸	۴۱۸
	(m ²) سطح	۱۴۷	۵۱
	(K) دمای بخار	۴۶۶/۳	۵۷۷
	(Kg/hr) شدت جرمی بخار مصرفی	۳۳۸/۶	۶۸
مشخصات فنی برج			
برج	(m) ارتفاع برج تقطیر	۱۷/۶	۸
	(m) قطر برج تقطیر	۱	۱/۵
محاسبات اقتصادی			
چگالنده	(\$/Yr) هزینه نصب چگالنده	۳۹۸۳	۴۲۰۴
	(\$/Yr) هزینه آب خنک کننده	۳۸۴۰۶	۳۲۴۲
جوش آور	(\$/Yr) هزینه نصب جوش آور	۸۹۴۰	۶۵۵۰
	(\$/Yr) هزینه بخار مصرفی	۷۰۵۷۲	۱۴۶۴۸
	هزینه نصب و خریداری برج (\$/Yr) تقطیر	۴۶۸۶۳	۳۹۱۵۴
	(\$/Yr) کل هزینه های برجهای تقطیر	۱۶۸۷۶۴	۶۷۷۹۸

فرضیات ساده شونده در مدل بهینه‌سازی

در این مدل برای کاهش پیچیدگی در مدل ریاضیاتی فرضیات زیر را انجام گرفته است:

(۱) میزان انتالپی میان بخار بالای برج‌ها را برابر با مقدار ثابت شبیه‌سازی‌های اولیه در نظر گرفته شده است.

(۲) میزان انتالپی تبخیر جریان‌های ورودی به جوش‌آورها ثابت و با مقدار شبیه‌سازی‌های اولیه برابر در نظر گرفته شده است.

(۳) ظرفیت گرمایی ویژه، دانسیته، ویسکوزیته و سایر خواص فیزیکی را در طول عمل بهینه‌سازی ثابت در نظر گرفته شود.

(۴) فرض کردہ‌ایم که برج‌های تقطیر تلفات حرارتی ندارند.

تابع هدف

تابع هدف عبارت است از کلیه درآمدهای واحدهای منهای هزینه‌های عملیاتی و هزینه‌های ثابت واحد شکل ساده آن به صورت زیر قابل تعریف است:

سود آوری = فروش استایرن + فروش ارتوزایلن + فروش تولوئن - هزینه خرید حلال - هزینه ساخت و عملیاتی چگالنده‌ای واحد - هزینه ساخت و عملیاتی جوش آورهای واحد - هزینه‌های ساخت برجهای تقطیر (۱) با توجه به اینکه خوراک واحد از داخل مجتمع تأمین می‌گردد لذا برای خریداری آن قیمتی در نظر گرفته نشده است، متغیرهای تابع هدف به شرح زیر می‌باشند:

جریان‌های ورودی خروجی

$$\text{Styrene product value} \left(\frac{\$}{\text{yr}} \right) = 3932P_6'$$

$$\text{Oxylene product value} \left(\frac{\$}{\text{yr}} \right) = 1909P_{10}'$$

$$\text{Solvent value} \left(\frac{\$}{\text{yr}} \right) = 1/45P_8' + 12218P_7' + 168P_5'$$

$$\text{Toluene value} \left(\frac{\$}{\text{yr}} \right) = 428P_3'$$

$$\text{C-100 Cost} \left(\frac{\$}{\text{yr}} \right) = 107A_{C1}^{0/65}$$

$$\text{C-200 Cost} \left(\frac{\$}{\text{yr}} \right) = 107A_{C2}^{0/65}$$

$$\text{C-300 Cost} \left(\frac{\$}{\text{yr}} \right) = 107A_{C3}^{0/65}$$

$$\text{R-100 Cost} \left(\frac{\$}{\text{yr}} \right) = 107A_{R1}^{0/65}$$

چگالنده‌های واحد

جوش آورهای واحد

^۱علامت) بیانگر دبی جرمی می‌باشد.

$\text{R-200 Cost} \left(\frac{\$}{\text{yr}} \right) = 10.7 A_{\text{R}_2}^{1/60}$ $\text{R-300 Cost} \left(\frac{\$}{\text{yr}} \right) = 10.7 A_{\text{R}_2}^{1/60}$ $\text{T-100 Cost} \left(\frac{\$}{\text{yr}} \right) = 8695 / 9 D_1^{1/066}$ برجهای تقطیر واحد $\text{T-200 Cost} \left(\frac{\$}{\text{yr}} \right) = 3/989 (33/97 D_{\text{T}_2}^{1/066} H_{\text{T}_2}^{0.8} + 23/4 V_{\text{T}_2})$ $\text{T-300 Cost} \left(\frac{\$}{\text{yr}} \right) = 3/989 (33/97 D_{\text{T}_2}^{1/066} H_{\text{T}_2}^{0.8} + 23/4 V_{\text{T}_2})$ بخار مصرفی واحد $\text{T-100 Steam} \left(\frac{\$}{\text{yr}} \right) = 8/59 S_1'$ $\text{T-200 Steam} \left(\frac{\$}{\text{yr}} \right) = 8/59 S_2'$ $\text{T-300 Steam} \left(\frac{\$}{\text{yr}} \right) = 8/59 S_3'$ آب خنک کننده مصرفی واحد $\text{T-100 Cooling Water} \left(\frac{\$}{\text{yr}} \right) = 0/1145 C_1'$ $\text{T-200 Cooling water} \left(\frac{\$}{\text{yr}} \right) = 6/384 R_e'$ $\text{T-300 Cooling Water} \left(\frac{\$}{\text{yr}} \right) = 0/1145 C_3'$ حلال مصرفی $\text{Solvent circulation value} = 56/4 \times 10^{-5} (6/8 H_r + 11/4) P_8'$	
---	--

محدودیتهای برابری فرایند

اولین محدودیت برابری موازنۀ کلی جرم حول برجهای می‌باشد، دومین محدودیت برابری عبارت است از موازنۀ ترکیبات ورودی به برج می‌باشد. موازنۀ انرژی حول دستگاه سومین محدودیت مساوی این مجموعه می‌باشد. چهارمین محدودیت مربوط به جریان بازگشتی به برج می‌باشد. محدودیت بعدی مربوط به نسبت حلal به خوراک و تاثیر حلal ورودی بر جداسازی استایرن از ارتوزایلن می‌باشد. مقدار جریان بازگشتی به برج تقطیر از رابطه آندروود استفاده شده است که در این رابطه L برش سبك، M برش متوسط و H برش سنگين خوراک است. برای محاسبه محدودیتهای برابری احتیاج به یک سری توابع محاسباتی که بیانگر متغیرهای مساله می‌باشند باید در نظر گرفت. محدودیتهای بعدی زمانی پدیدار می‌شود که با بر هم خوردن موازنۀ های جرم و انرژی با فرض ثابت بودن تعداد مراحل، قطر برج تغییر می‌کند در این حالت فرض می‌کنیم که دانسیته بخار و جرم مولکولی تغییر نکند.

با توجه به اینکه در برج T-۲۰۰ ترکیب ودبی خوراک ورودی به برج تقطیر مشخص نمی‌باشد پس محدودیت درصد ترکیب و میزان جداسازی ترکیبات از هم به صورت محدودیتهای برابری وجود دارد. برای برج تقطیر استخراجی و برج بازیابی حلal محدودیتهای برابری به صورت فوق در نظر گرفته شده است.

همان طور که در شکل (۴) ملاحظه می‌گردد حلal سولفولان در این برج وارد می‌گردد بنابراین با تعریف نسبت حلal به خوراک و تغییرات این نسبت در برنامه شبیه ساز فرایند می‌توان تغییرات درصد مولی ارتوزایلن با تغییرات نسبت حلal به خوراک را بدست آورد که از درون یابی داده‌های بدست آمده از نرم افزار Hysys که در شکل (۵) ملاحظه می‌گردد، بدست آمده است. محدودیت‌های برابری در این واحد عبارتند از:

موازنۀ کلی جرم

$$P_1 - P_2 - P_3 - P_4 = 0$$

$$\text{Cyclapentane: } 0.086P_1 - 0.11P_2 = 0$$

$$\text{Pentene: } 0.0208P_1 - 0.0274P_2 = 0$$

$$C_4: 0.0038P_1 - 0.005P_2 = 0$$

$$\text{Cyclo Pentadiene: } 0.0908P_1 - 0.12P_2 = 0$$

$$C_5: 0.0092P_1 - 0.0121P_2 = 0$$

$$\text{Penta diene: } 0.049P_1 - 0.0648P_2 = 0$$

$$\text{Benzene: } 0.041P_1 - 0.05488P_2 = 0$$

$$\text{Toluene: } 0.1238P_1 - 0.13P_2 - 0.9335P_3 = 0$$

$$\text{Oxylene: } 0.024P_1 - 0.0149P_2 - 0.19P_4 = 0$$

$$\text{Styrene: } 0.1046P_1 - 0.0516P_2 - 0.81P_4 = 0$$

$$C_6: 0.0354P_1 - 0.0468P_2 = 0$$

$$\begin{aligned} & 9/9 \times 10^{+2} P_1 + 1/6 \times 10^{+2} S_1 - 1/61 \times 10^{+2} P_2 - 4/84 \times 10^{+2} P_4 \\ & - 1/369 \times 10^{+2} P_3 - 54 C_1 = 0 \end{aligned}$$

$$R_i - 1/2 \times \frac{x_{LF}/(\alpha_{LH} - 1) + (x_{MF} + x_{HF})/(\alpha_{MH} - 1)}{(x_{LF} + x_{MF})(1 + x_{LF}x_{HF})} = 0$$

$$D_i - 0.154\sqrt{G_i} = 0$$

موازنۀ انرژی

رابطه جریان بازگشتی به برج

قطر برج نقطی

محدودیت خوراک ورودی

$$P_1 - 86 = 0$$

محدودیتهای نابرابری فرآیند

در حقیقت این محدودیتها هستند که بازه عملکرد فرآیند را تعریف می‌کنند و به آن معنای واقعی می‌دهند و مانع از بوجود آمدن داده‌های غیر حقیقی می‌شوند بر همین اساس این محدودیتها را به ترتیب زیر می‌باشند:

۱. محدودیت قطر برج
۲. محدودیت جریان بازگشتی به برج
۳. محدودیت مقدار جوشش جوش‌آور
۴. محدودیت سطح چگالنده
۵. محدودیت سطح جوش‌آور
۶. محدودیتهای درصد مولی ترکیبات در برج
۷. محدودیت نسبت حلal به خوراک

روابط مربوط به محدودیتهای نابرابری در زیر ملاحظه می شوند:

محدودیتهای نابرابری برج T-100

$$P_1 > 0, P_2 > 0, P_3 > 0, P_4 > 0, S_1 > 0, C_1 > 0, G_1 > 0, D_1 > 0, R_1 > 0, B_1 > 0, L_2 > 0, Q_{C1} > 0$$

$$AC_1 > 0, C_1 > 0, QR_1 > 0, AR_1 > 0$$

$$\text{محدودیت قطر برج: } 2/2' \leq D, \leq 8'$$

$$\text{محدودیت جریان بازگشتی به برج: } R_1 = 5$$

$$\text{محدودیت مقدار جوشش جوش آور: } . < B, \leq 1$$

$$\text{محدودیت سطح چگالنده: } 200 \leq A_{C1} \leq 5000$$

$$\text{محدودیت سطح جوش آور: } 200 \leq A_{R1} \leq 5000$$

محدودیتهای نابرابری برج T-200

$$P\lambda > 0, P1 > 0, P5 > 0, Q_{C2} > 0, Q_{R2} > 0, R2 > 0, C2 > 0, S2 > 0$$

محدودیتهای درصد مولی ترکیبات در برج:

$$. \leq X_{StP_\lambda} \leq . / . . . 5, . / . . 1 \leq X_{StP_r} \leq . / . 3$$

$$. / . 95 \leq X_{oxP_\lambda} \leq 1, . \leq X_{oxP_\delta} \leq . / . . . 5$$

$$. / . 9 \leq X_{St} \leq 1, . \leq X_{StP_\lambda} \leq . / . 5, . / . 999 \leq X_{ox} \leq 1,$$

$$. / . 999 \leq X_{SuP_\lambda} \leq 1, . / . 6 < X_{SuP_\delta} < 1, . < X_{StP_\delta} < . / . 4$$

$$\text{محدودیت جریان برگشتی به برج: } 2 \leq R, \leq 5$$

$$\text{محدودیت سطح چگالنده: } 200 \leq A_{C2} \leq 5000$$

$$\text{محدودیت سطح جوش آور: } 200 \leq A_{R2} \leq 5000$$

$$\text{محدودیت نسبت حلال به خوراک: } 1 \leq R \leq 6$$

$$. / . 1 \leq \varphi_1 \leq 3, . / . 15 \leq \psi_1 \leq . / . 13, 3 / 2 ft \leq D2 \leq 8 ft$$

$$L'1 > 0, G'1 > 0, . / 1 \leq HETP \leq 2, 55 \leq H2 < 120 ft$$

$$L''1 > 0, G''1 > 0, V2 > 0$$

محدودیتهای نابرابری برج T-300

$$P6 > 0, P7 > 0, P9 > 0, Q_{C3} > 0, Q_{R3} > 0, R3 > 0, C3 > 0, S3 > 0$$

محدودیتهای درصد مولی در برج:

$$\begin{aligned} & . / ۹۹ \leq X_{S+P_r} \leq 1, \quad . \leq X_{OxP_r} \leq . / . . ۱, \quad X_{SuP_r} = . , \quad . / ۹۹ \leq X_{S+r} \leq 1, \quad X_{Ox_r} = ۱, \quad X_{Su_r} = ۱ \\ & . / . . \leq X_{S+P_v} \leq . / . . . ۱, \quad . / ۹۹ \leq X_{S+P_v} \leq ۱ \quad X_{OxP_v} = . \quad X_{Su_v} = ۱ \end{aligned}$$

محدودیت جریان برگشتی برج: $R_r \leq ۵$

محدودیت سطح چگالنده: $A_{Cr} \leq ۵۰۰۰$

محدودیت سطح جوش آور: $A_{Rr} \leq ۵۰۰۰$

$$\begin{aligned} & . / . ۱ \leq \varphi_1 \leq ۳ \quad . / . ۱۵ \leq \Psi_1 \leq . / . ۱۳ \quad ۲ / ۲ \leq D_r \leq ۸ \\ L' > . & \quad G' > . \quad . / ۱ \leq HETP \leq ۳ \quad ۵۰ \leq H_r \leq ۱۲۰ \text{ ft} \\ C'' > . & \quad G'' > . \quad V_3 > . \end{aligned}$$

حل مساله بهینه سازی

همان طور که در قسمت های قبل ملاحظه گردید تابع هدف به همراه محدودیتهای برابری و نابرابری و تابع های محاسباتی با توجه به موارد موجود در شبیه سازی فرایند بدست آمد. با استفاده از روش GRG این مدل بهینه سازی غیر خطی را به نرم افزار GAMS حل شده است. میزان نسبت حلال به خوراک به میزان بهینه ۱/۵ افزایش پیدا کرده است. سایر پارامترها در جدول (۷) ملاحظه می گردند.

با توجه به داده های بدست آمده در این بخش باید شبکه مبدل های حرارتی این فرایند مورد تحلیل قرار گیرد تا طرح بهینه ای بدست آید. براساس همین برنامه بهینه سازی برنامه شبیه سازی واحد مورد برنامه ریزی مجدد قرار گرفته است که از نتایج آن در طراحی شبکه مبدل های حرارتی استفاده شده است.

انتخاب فشار مناسب برجها [۱۶]

منحنی ترکیبی^۵ در دمای نزدیکی $K = ۱۰$ رسم شده است. همان طور که در شکل (۶) ملاحظه می شود در محدوده دمایی $K = ۴۱۸$ در منحنی ترکیبی سرد و گرم بسیار به هم نزدیک هستند. این نمودار بیانگر این است که سطح مبدل های حرارتی در این بخش زیاد خواهد (به دلیل نزدیکی دو سطح فرایندی سرد و گرم) به همین جهت برای دور کردن این دو منحنی لازم است در داخل فرایند تغییرات فشاری ایجاد نمائیم. پله ایجاد شده در منحنی گرم نمودار ترکیبی بیانگر سطح انرژی چگالنده $T-300$ می باشد بنابراین می توان با افزایش فشار در برج $T-300$ می توان سطح انتالپی جوش آور و چگالنده این برج را افزایش داد و یا در برج $T-200$ می باشد بنابراین می توان با افزایش فشار در برج $T-300$ می توان سطح انتالپی جوش آور و چگالنده این برج را افزایش داد و یا در برج $T-200$ از مقدار حاضر نمی توان کمتر کاهش داد لذا گزینه افزایش فشار در برج $T-300$ مورد بررسی قرار می دهیم. برای بررسی گزینه افزایش در برج $T-300$ دو فشار 2bar و 4bar را مورد بررسی قرار داده ایم.

جدول (۷) مقدار بهینه حلال مصرفی در فرایند

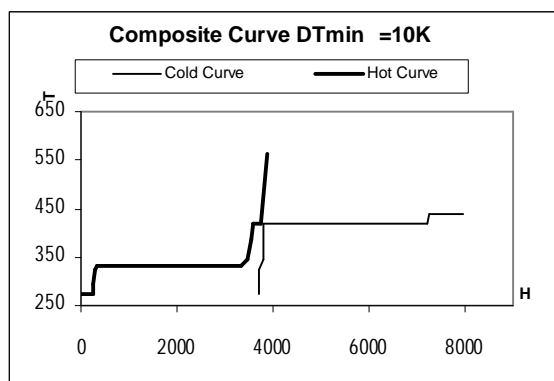
^۵- Composite Curve

T-100	C-100(قیمت چگالنده\$/yr)	۱۷۱۰۰
	آب خنک کننده(قیمت(\$/yr) مصرفی	۲۶۸۰۰
	R-100(قیمت جوش آور(\$/yr)	۲۳۰۰۰
	بخار مصرفی(قیمت(\$/yr)	۵۳۰۳
	برج تقطیر(قیمت(\$/yr)	۲۲۶۴۸
T-200	C-100(قیمت چگالنده\$/yr)	۲۳۶۹
	سیال مبرد(قیمت(\$/yr) مصرفی	۵۴۵۲۹
	R-100(قیمت جوش آور(\$/yr)	۱۴۶۷۱
	بخار مصرفی(قیمت(\$/yr)	۸۱۰۳۷
	برج تقطیر(قیمت(\$/yr)	۲۰۳۶۴۸
T-300	C-100(قیمت چگالنده\$/yr)	۱۴۸۳
	آب خنک کننده(قیمت(\$/yr) مصرفی	۱۶۸۱
	R-100(قیمت جوش آور(\$/yr)	۴۰۸۹
	بخار مصرفی(قیمت(\$/yr)	۱۷۰۰۰
	برج تقطیر(قیمت(\$/yr)	۵۰۰۰۰
	نسبت حلال به خوراک	۱/۵
	هزینه حلال مصرفی(\$/yr)	۲۷۹۰۰
	استایرن تولیدی(\$/yr)	۷۴۰۰۰
	ارتوزایلن تولیدی(\$/yr)	۸۵۰۰۰
	سود آوری طرح(\$/yr)	۴۸۹۰۰

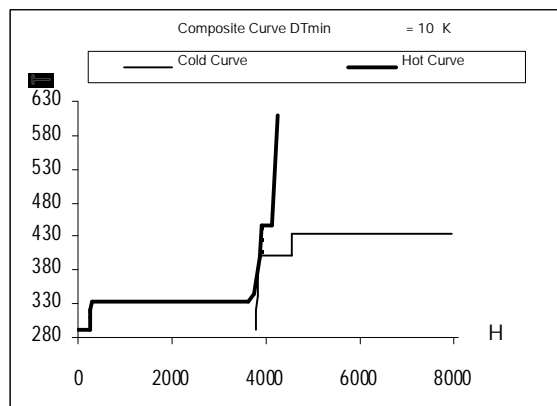
بر همین اساس فرایند دو بار شبیه‌سازی شده است که نتایج استخراج اطلاعات برای فشارهای ۲bar و ۴bar به ترتیب در ترکیبی هر دو فشار برای دمای نزدیکی $K = 10$ در شکل‌های (۷) و (۸) ملاحظه می‌شوند. از دو مقایسه بین دو شکل (۷) و (۸) این نتیجه حاصل می‌شود که پله چگالنده برج $T = 300$ در فشار ۴bar سطح انرژی بالایی دارد لذا سطح تبادل انرژی بالاتر و منابع تأسیساتی بیشتری صرف می‌شود. به همین جهت فشار ۲bar را جهت طراحی فرایند در نظر می‌گیریم. علاوه بر آن فشار ۴bar باعث افزایش ضخامت برج تقطیر بزرگی اندازه دستگاه و تجهیزات جانبی آن می‌شود.

محاسبه مقدار بهینه حداقل نیروی محرکه دمایی (ΔT_{min})^۶

با توجه به مشخصات جریان‌ها، قیمتها و مشخصات منابع خارجی مورد استفاده (بخار، آب خنک‌کن و سیال سرد) و معادله پایه بدست آمده برای شبکه مبدل‌های حرارتی، می‌توان هزینه سرمایه‌گذاری و هزینه انرژی را برای ΔT_{min} های مختلف بدست آورد، تغییرات انرژی و سرمایه‌گذاری با تغییر ΔT_{min} محاسبه می‌شوند. برهمین اساس دمای بهینه $k = 11 \Delta T_{min} = 11$ می‌باشد که محاسبات مربوط به شبکه مبدل‌های حرارتی را بر همین اساس انجام داده‌ایم. بنابراین نقطه pinch در دو سطح گرم و سرد $2k = 395$ و $4k = 384$ می‌باشد.

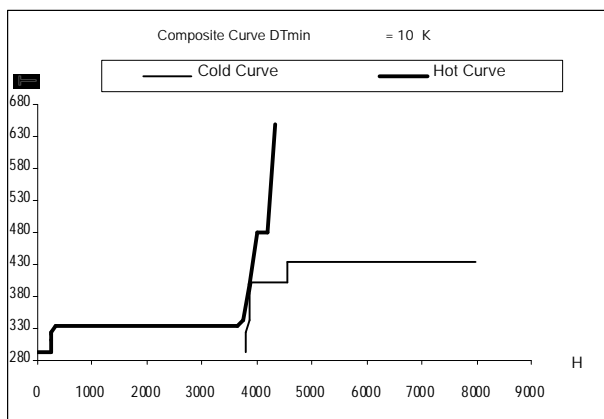


شکل (۶) منحنی CC در شرایط خلا



شکل (۷) منحنی CC در فشار ۲bar

^۶- این محاسبات با کمک نرم افزار Aspen Pinch انجام شده است.



شکل(۸) منحنی CC در فشار ۴bar

بدهست آوردن ترکیب بهینه منابع تأسیساتی خارجی:[۲۲]

برای دستیابی به ترکیب بهینه منابع تأسیساتی باید ابتدا منحنی ترکیبی گراند مربوطه به فرایند را در حداقل نیروی محرکه بهینه یعنی $\Delta T_{\min} = 11$ که بدهست آمدانرژی، سطح شبکه مبدل های حرارتی با ΔT_{\min} رسم کرد [۲۱ و ۲۱]. منحنی ترکیبی مربوطه به جریان های سرد و گرم در حداقل نیروی محرکه بهینه در شکل (۹) ملاحظه می شود [۱۷]. در شکل (۱۰) ترکیب منابع تأسیسات خارجی در کنار منحنی ترکیبی گراند^۷ فرایند رسم شده است. در جدول (۸) مقدار مصرف هر یک از منابع خارجی را نشان می دهد.

نتیجه گیری نهايی

همان طور که در بخش اول اشاره شد، برای جداسازی دو برش سبک و متوسط از برش سنگين سه گزينه فرایندی پيش روی طراح می باشد. از بين سه طرح اريه شده طرح اول، برج تقدير با جريان جانبی با هزينه ۲۰.۸Kg/hr و ارتوزايلن با دبي ۸۸Kg/hr انتخاب گردید. پس از اين جداسازی استاييرن با دبي ۱۱۴۸۵\$/yr عاری از ساير ترکيبات سبک ديگر برای جداسازی از هم به بخش بعدی واحد فرستاده می شوند.

با توجه به شرایط ترموديناميکي سистем استاييرن-ارتوزايلن برای جداسازی اين دو ماده از هم چهار گزينه فرایندی وجود دارد که با توجه به محاسبات انجام گرفته تقدير استخراجی با هزينه ۲۴۶۴۴\$/yr دارای بهترین سود آوري خواهد بود. همان طور که ذكر گردید نوع حلال بر اقتصاد تقدير استخراجی تاثير گذار است بنابراین از بين گزينه های موجود حلال سولفولان به عنوان بهترین حلال انتخاب گردید.

ميزان نسبت حلال به خوراک بر روی جداسازی استاييرن از ارتوزايلن و اندازه دستگاه ها تاثير زياطي دارد بنابراین ميزان حلال مصرفی بهینه از حل يك مدل بهينه سازي غير خطى بدهست آورديم که مقدار نسبت حلال به خوراک برابر ۱/۵ گردید.

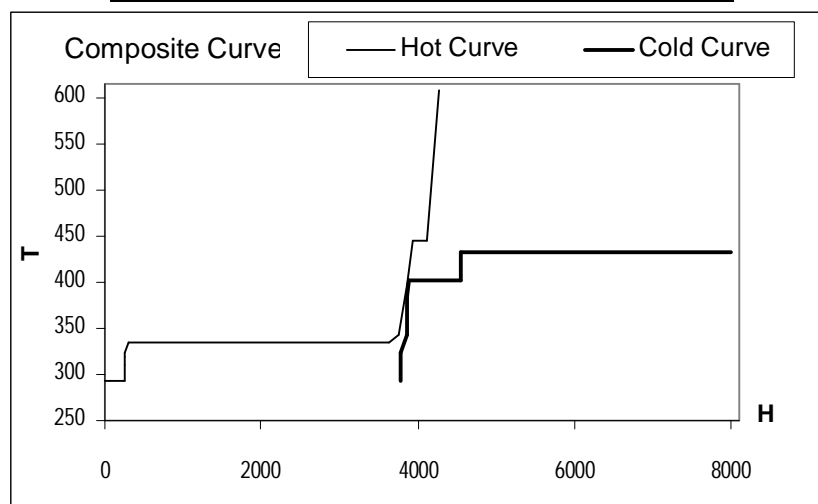
پس از بدهست آوردن مقدار بهینه حلال به خوراک واحد مجددا شبيه سازی شد و بر اساس اطلاعات جديد دو طرح برای شبکه مبدلهاي حرارتی اريه گردید که با توجه به نوع مبدلها و منابع تأسیساتی جانبی طرح دوم از

⁷- Grand Composite Curve

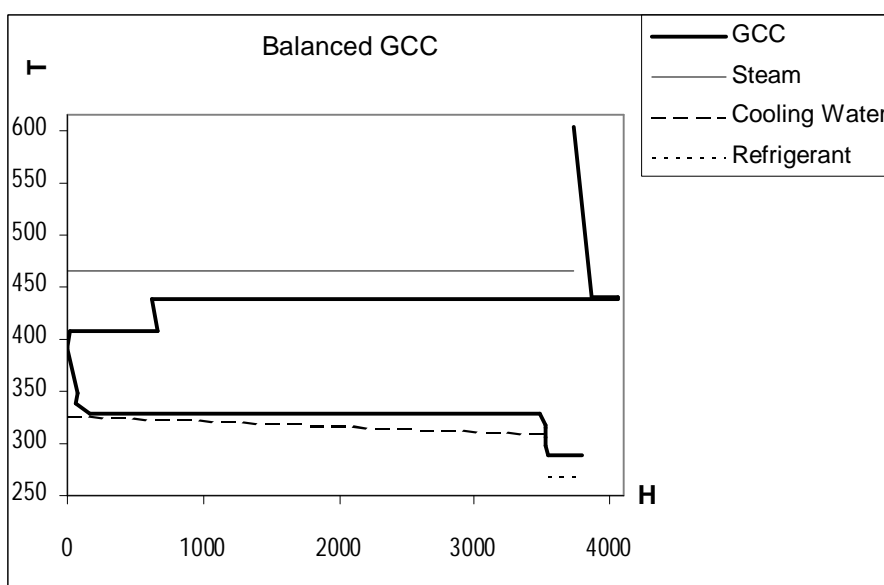
لحوظه هزینه برگزیده شد نمایی از این طرح در شکل (۱۱) ملاحظه می‌گردد. پس از انتخاب طرح بهینه شبکه مبدل‌های حرارتی واحد مجدداً شبیه سازی گردید و محاسبات نهایی اقتصادی بر همین اساس انجام گرفت و در نهایت نمودار جریان‌های فرایندی بهینه پیشنهاد گردید که در شکل (۱۲) ملاحظه می‌گردد.

جدول (۸) میزان مصرف منابع تاسیساتی خارجی

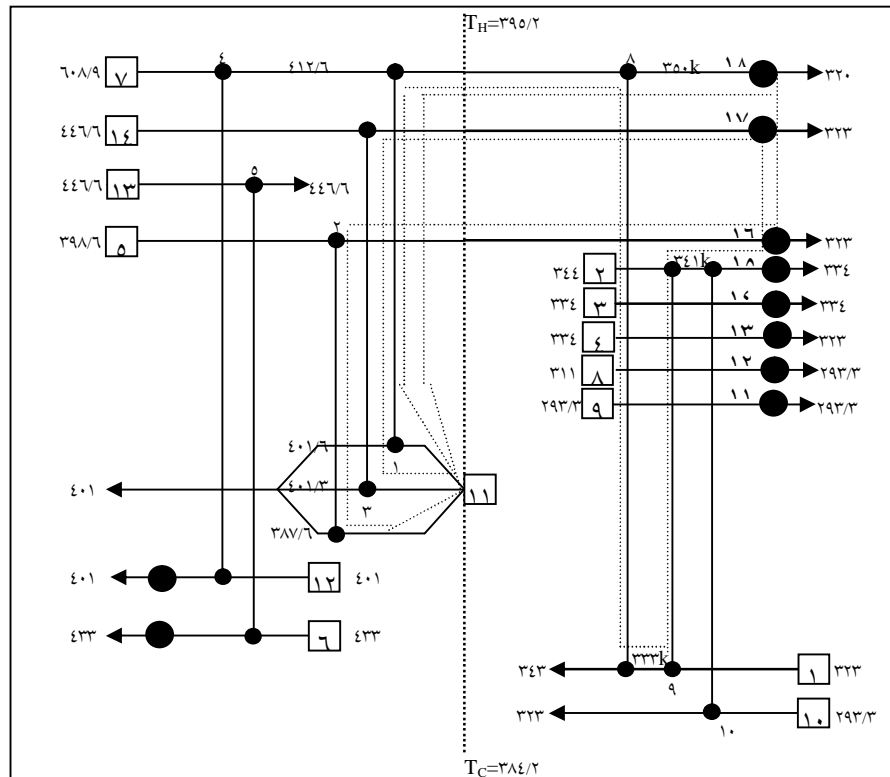
نوع منبع تاسیساتی خارجی	بار حرارتی (KW)
بخار مصرفی	۳۷۳۰/۸۸
آب خنک کننده	۳۵۴۰
سیال مبرد	۲۴۸/۲



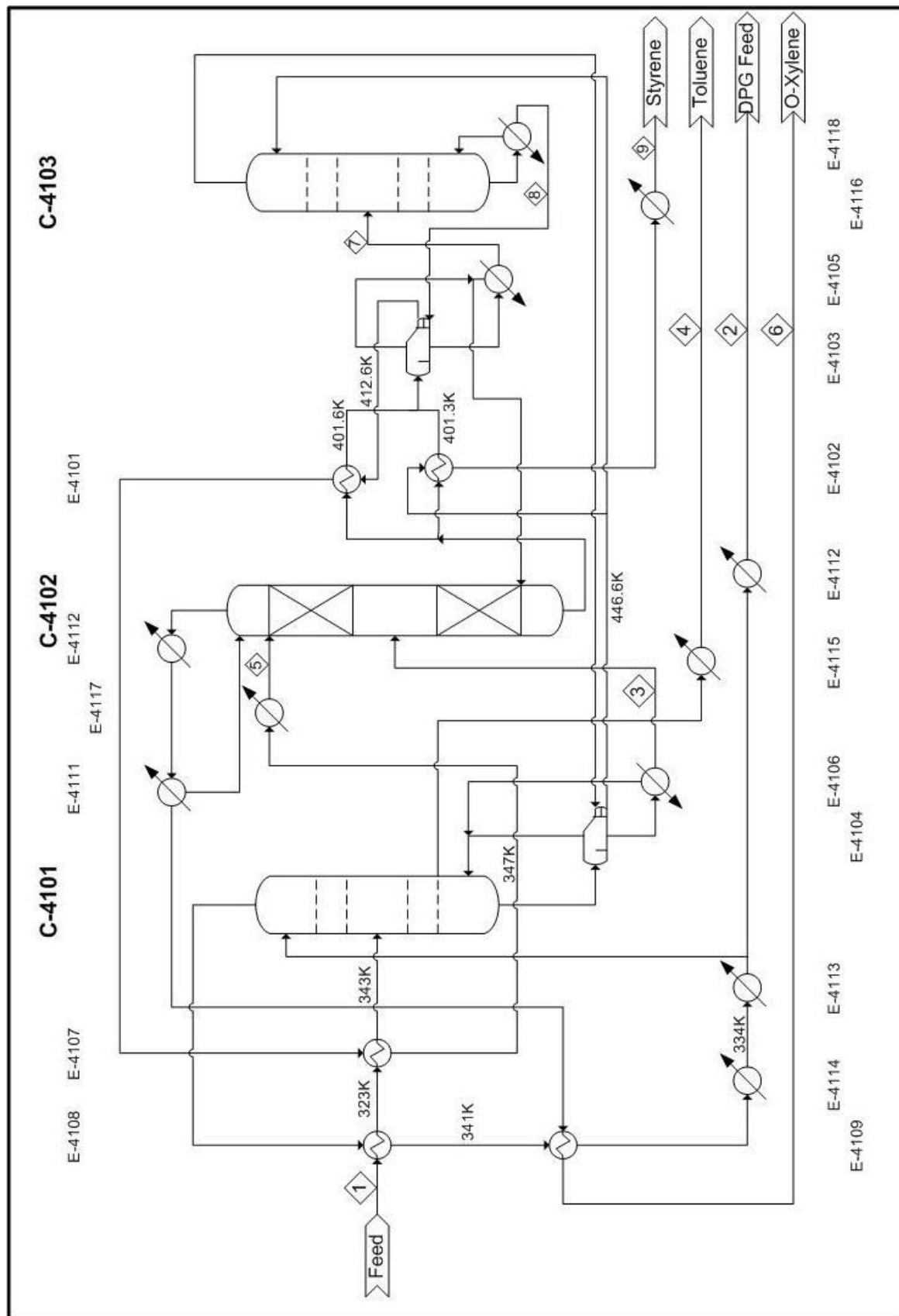
شکل (۹) منحنی ترکیبی فرایند در $\Delta T_{min} = 11$



شکل (۱۰) منحنی ترکیبی گراند فرایند در $\Delta T_{min} = 11$



شکل(11) شبکه مبدل‌های حرارتی فرایند بازیابی استایرن از خوارک واحد بنزین پیرولیز



شکل(۱۲) نمودار جریانهای فرایندی واحد پیشنهادی بازیابی استایرین از خوراک واحد بنزین پیروولیز

منابع و مراجع

1. SRI Report, "Styrene Recovery from Pyrolysis Gasoline" , Vol. 34, 1998
2. Perry's Chemical Eng. Handbook, McGraw-Hill, Sixth Edition
3. SRI Report, "Styrene Production" , Vol. 33, 1998
4. Technical Documents of Tabriz Petrochemical

۵. اسناد بازرگانی پتروشیمی، بهار ۱۳۸۱

6. Reid, R. C. , Prausnitz, J. M., Poling, B. E, "The Properties of Gases and Liquids" , McGraw-Hill , 1988.
7. Douglas, J. M., "Conceptual Design of Chemical Processes" , McGraw-Hill, 1988.
8. Tedder, D. W., Rudd, D. F., "The Synthesis of System Design" AIChE J., 24:303, 1978.
9. Gelinos, K. , Malone, M.F., "Computer Aided Synthesis of Chemical process Design" Ind. Eng. Chem . Proc. Des Dev., 24:1087, 1985.
10. Nishida, N., Stephanopoulos, G., Westerberg, A. W., "A Review of Process Synthesis" AIChE J., 29:36, 1981.
11. Fu-Ming Lee, Katy, Gentry, J. C., " Recovery of Styrene from Pyrolysis Gasoline by Extractive Distillation" , US Patent No. 5849982, Dec.1998.
12. Fu-Ming Lee, "Extractive Distillation: Separation Close-Boiling Point Components" , Chemical Eng. Nov., 1998.
13. Edgar ,T. F., Hemmelblau, D.M., Ladson, L. S., "Optimization of Chemical Processes " Mc-Graw Hill 2th Edition
14. Smith, R., "Chemical Process Design" , Mc-Graw Hill, 1995.
15. Ahmad, S., Linnhoff, B., Smith, R., "Cost Optimum Heat Exchanger Networks-2, Targets and Design for Detailed Capital Cost Models" ,
16. Ahmad, S., Linnhoff, B., "Overall Cost Targets for Heat exchanger Networks" , IChemE 1st Annual Research Meeting on Heat Transfer, Bath, 1984.
17. Linnhoff,B., et al., "A User Guide on Process Integration for Efficient Use of Energy" IChemE, Rugby, 1982.